

## یک تمایزگر تفاضلی برای دو دور الگوریتم رمزگذاری احراز اصالت شده $\pi$ -Cipher\*

بهزاد سعیدی\* و زهرا احمدیان

دانشکده مهندسی برق، دانشگاه شهید بهشتی، تهران، ایران

### اطلاعات مقاله

### چکیده

کلمات کلیدی:

الگوریتم  $\pi$ -Cipher  
رقابت CAESAR  
جایگشت ARX  
تمایزگر تفاضلی  
احتمال مشخصه تفاضلی

doi: 10.0000/0000000000

نوع مقاله: پژوهشی

الگوریتم  $\pi$ -Cipher یکی از ۲۹ طرح راه یافته به دور دوم رقابت سزار می باشد. این الگوریتم دارای ساختاری موازی و اسفنجی است که از جایگشتی از نوع ARX بهره می برد و در دو نسخه و هر یک در انواع متعدد ارائه شده است. در این مقاله، الگوریتم  $\pi$ -Cipher با کلمات ۱۶ بیتی مورد بررسی قرار گرفته است. با تمرکز بر روی ساختار داخلی جایگشت  $\pi$  استفاده شده در این الگوریتم و با تحلیل تفاضلی بر روی دو دور آن، یک تمایزگر تفاضلی با احتمال  $2^{-95}$  معرفی می شود. این نخستین تحلیل روی این الگوریتم با در نظر گرفتن جزئیات ساختار داخلی جایگشت آن می باشد.

© ۱۴۰۰ انجمن رمز ایران

### ۱ مقدمه

حوزه رمزگذاری احراز اصالت شده یکی از موضوعات در حال گسترش در رمزنگاری متقارن می باشد و در سال های اخیر مطالعات و تحقیقات گسترده ای در این زمینه انجام شده است. رقابت اروپایی سزار به منظور طراحی الگوریتم های رمزگذاری احراز اصالت شده از سوی جامعه رمزنگاری اروپا در سال ۲۰۱۴ اعلام عمومی شد و در پاسخ به این فراخوان ۵۷ طرح ارائه و در طی چهار مرحله طرح های برگزیده از دیدگاه کارایی و امنیت انتخاب شدند [۱]. الگوریتم رمزنگاری  $\pi$ -Cipher یکی از ۲۹ طرح راه یافته به دور دوم این رقابت است [۲]. در مقاله ای پیش رو، امنیت این الگوریتم در برابر تحلیل تفاضلی مورد بررسی قرار خواهد گرفت. به طور کلی الگوریتم های رمزنگاری متقارن را می توان با در نظر گرفتن عملکرد و نقاط ضعف احتمالی آن ها با روش هایی مانند حمله خطی، تفاضلی، جبری و ... تحلیل کرد.

حمله تفاضلی، یک روش تحلیل امنیتی در مدل متن اصلی منتخب می باشد. در این روش، تحلیل گر تلاش می کند تا رابطه ی احتمالی میان تفاضل ورودی و خروجی در هر دور از رمز پیدا کند. با بهم پیوستن این روابط در دوره های متوالی رمز، تحلیل گر انتظار رابطه ای با احتمال به اندازه ی کافی بزرگ بین تفاضل ورودی و تفاضل خروجی را خواهد داشت. چنین خاصیتی می تواند در نقش تمایز الگوریتم رمز از یک جایگشت شبه تصادفی (تمایزگر)، و یا برای بازیابی اطلاعاتی از کلید الگوریتم به کار برده شود.

بنا بر ادعای طراحان الگوریتم  $\pi$ -Cipher [۲]، این الگوریتم به صورت موازی، افزایشی، مبتنی بر تک شمار، دارای برجسب (چکیده) مقاوم در برابر حمله ی پیش تصویر دوم و رمزگذاری احراز اصالت شده با داده های مرتبط است، که شامل ویژگی های رمزنگاشتی زیر است:

(۱) طراحی در دسته ی «رمزگذاری-سپس-کد احراز اصالت» قرار دارد.

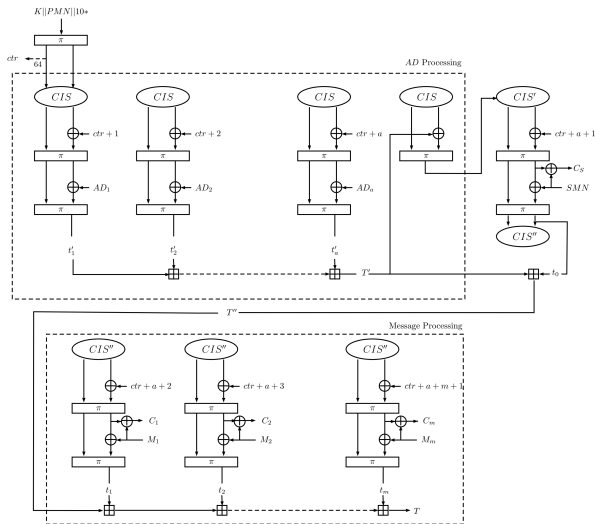
(۲) دارای طراحی با ساختار موازی و افزایشی و مبتنی بر شمارنده است، اما برای ایجاد مقاومت برجسب های کد احراز اصالت در برابر پیش تصویر دوم به جای عملیات XOR برای اجزای برجسب میانی، از جمع های مؤلفه به مؤلفه در  $(\mathbb{Z}_{2^w})^d$  استفاده شده است.

\* از کمیته علمی شانزدهمین کنفرانس بین المللی انجمن رمز ایران برای داوری این مقاله تشکر می شود.

\* نویسنده مسئول

آدرس های رایانامه: b.saeedi@mail.sbu.ac.ir (بهزاد سعیدی)، z\_ahmadian@sbu.ac.ir (زهرا احمدیان)

© ۱۴۰۰ تمامی حقوق متعلق به انجمن رمز ایران است.

شکل ۱. ساختار کلی رمزگذاری  $\pi$ -Cipher [۴]

پس از آنکه مشکلاتی در نسخه اول (version 1) این الگوریتم مشاهده شد که منجر به آسیب پذیری امنیتی در این طرح شد، طراحان نسخه دوم (version 2) آن را ارائه دادند. هر دو نسخه‌ی این الگوریتم بنا بر طول کلمات، طول کلید و همچنین قاعده‌ی لایه‌ی گذاری، دارای انواع<sup>۱</sup> مختلفی می‌باشد که طبقه‌بندی آن‌ها در جدول ۱ جمع‌بندی شده است.

جدول ۱. مشخصات الگوریتم  $\pi$ -Cipher [۲]

نسخه	نوع الگوریتم	طول کلمات به بیت	طول کلید	طول برجسب	تعداد دورها
v1,2	$\pi$ 16-Cipher096	۱۶	۱۲۸	۹۶	۳
v1,2	$\pi$ 32-Cipher128	۳۲	۲۵۶	۱۲۸	۳
v1,2	$\pi$ 64-Cipher128	۶۴	۵۱۲	۱۲۸	۳
v1,2	$\pi$ 64-Cipher256	۶۴	۵۱۲	۲۵۶	۳
v2	$\pi$ 16-Cipher128	۱۶	۱۲۸	۱۲۸	۴
v2	$\pi$ 32-Cipher256	۳۲	۲۵۶	۲۵۶	۴
سبک وزن	$\pi$ 16-Cipher096	۱۶	۱۲۸	۹۶	۲
سبک وزن	$\pi$ 16-Cipher128	۱۶	۱۲۸	۱۲۸	۲

در جریان مسابقه سزار، هر دو نسخه‌ی این طرح (v1 و v2) تحلیل‌هایی بر روی الگوریتم‌های تک دوری، دو دوری، ۲/۵ دوری و سه دوری دریافت کردند. در [۲] یک تحلیل کشف حالت بر روی نسخه‌ی اول تک دوری، دو دوری، سه دوری و نسخه‌ی دوم تک دوری ارائه شده است و همچنین در [۴]، به حمله‌ی کشف کلید بر روی نسخه‌ی دوم دو دوری و ۲/۵ دوری پرداخته شده است. اساس هر دو تحلیل بر مبنای حدس و تعیین بنا شده است. بنابراین تحلیل کشف حالت در [۳] برای نسخه‌ی دوم این الگوریتم هنگامی که دارای دو دور یا بیشتر باشد ناتوان است در حالی که در مقاله‌ی پیش رو تحلیل بر روی نسخه‌ی دوم و دو دوری انجام شده است.

جایگشت استفاده شده در این الگوریتم دارای طولی برابر  $16w$  می‌باشد که  $w$  طول کلمات این الگوریتم می‌باشد و می‌تواند برابر با ۱۶، ۳۲ و یا ۶۴ بیت باشد. عنصر سازنده‌ی این جایگشت که بخش عمده‌ی امنیت الگوریتم  $\pi$ -Cipher را تأمین می‌کند، بر عهده‌ی عملگر \* است که دارای ساختاری مبتنی بر ARX می‌باشد. هر دو تحلیل ارائه شده برای این الگوریتم، نهایتاً تا سطح عملگر \* عمیق شده و این عملگر را بصورت یک جعبه سیاه در نظر می‌گیرند.

در این مقاله تحلیل تفاضلی برای این الگوریتم، با در نظر گرفتن جزئیات ساختار داخلی عملگر \* ارائه می‌شود. با بررسی تعدادی از تفاضلهای با وزن همینگ کم با احتمال پراکنش بالا، یک تمایزگر تفاضلی دو دوری با احتمال  $2^{-95}$  برای طرح رمزگذاری احرازاصالت شده  $\pi$ -Cipher معرفی می‌کنیم. در جدول ۳ خلاصه‌ای از کارهای پیشین و نتایج این مقاله ارائه شده است.

در این مقاله تحلیل تفاضلی برای این الگوریتم، با در نظر گرفتن جزئیات ساختار داخلی عملگر \* ارائه می‌شود. با بررسی تعدادی از تفاضلهای با وزن همینگ کم با احتمال پراکنش بالا، یک تمایزگر تفاضلی دو دوری با احتمال  $2^{-95}$  برای طرح رمزگذاری احرازاصالت شده  $\pi$ -Cipher معرفی می‌کنیم. در جدول ۳ خلاصه‌ای از کارهای پیشین و نتایج این مقاله ارائه شده است.

ساختار این مقاله به شرح زیر است. در بخش ۲ مشخصات الگوریتم

<sup>1</sup>Variant

## ۲ مشخصات الگوریتم $\pi$ -Cipher.v2

این الگوریتم در قسمت احراز اصالت خود از طرح اصالت سنجی شماره‌ده محور استفاده می‌کند. شکل ۱ ساختار کلی این الگوریتم را نشان می‌دهد که دارای چهار مرحله‌ی اصلی مقداردهی اولیه، پردازش داده-پیوست<sup>۲</sup>، پردازش عدد مخفی پیام<sup>۳</sup> و همچنین پردازش پیام است.

### ۱.۲ مرحله مقداردهی اولیه

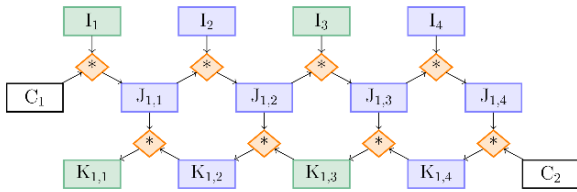
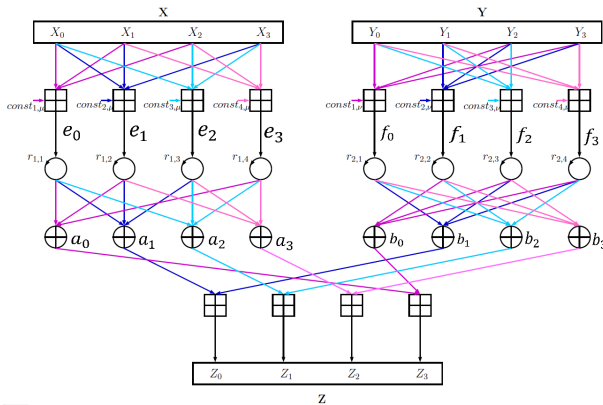
در این مرحله، کلید به همراه عدد عمومی پیام<sup>۴</sup> که بخشی از تک شمار این الگوریتم به حساب می‌آید و به منظور تحقق یک سیستم رمزگذاری تصادفی از آن استفاده می‌شود، به الگوریتم تزریق می‌شود. سپس با استفاده از لایه‌ی گذاری، طول حالت‌های کمتر از طول قالب را به اندازه‌ی آن قالب گسترش می‌دهد و پس از یک مرحله عبور از تابع جایگشت  $\pi$ ، حالت داخلی مشترک تولید می‌شود. در این مرحله، شماره‌دهی الگوریتم از ۶۴ بیت قسمت ظرفیت حالت داخلی مشترک<sup>۵</sup> استخراج می‌شود.

عدد عمومی پیام برای الگوریتم با کلمات ۱۶ بیتی طولی برابر ۳۲ بیت و برای الگوریتم‌هایی با کلمات ۳۲ و ۶۴ بیتی طولی معادل ۱۲۸ بیت خواهد داشت.

$$CIS \leftarrow \pi(K||PMN||10^*) \quad (1)$$

حالتی که در این الگوریتم به‌روز می‌شود شامل چهار بخش است که هر کدام

<sup>2</sup>Associated Data (AD) <sup>3</sup>Secret Message Number (SMN) <sup>4</sup>Public Message Number (PMN) <sup>5</sup>Common Internal State (CIS)

شکل ۳. یک دور تابع جایگشت  $\pi$  [۲]

شکل ۴. ساختار ARX عملگر \* [۲]

#### ۴.۲ مرحله پردازش پیام

پیام  $M = M_1 \| M_2 \| \dots \| M_m$  نیز مانند داده-پیوست بصورت موازی و قالب به قالب از طریق مؤلفه‌ی سه‌تایی پردازش می‌شود که قاعده‌ی لایه‌ی گذاری در آن همانند مرحله پردازش داده-پیوست می‌باشد. در انتها نیز برجسب نهایی احراز اصالت که تابعی از برجسب‌های مربوط به پردازش عدد مخفی، پردازش داده-پیوست و پردازش پیام هستند بصورت زیر بدست می‌آید.

$$T = T'' \boxplus t_1 \boxplus t_2 \boxplus \dots \boxplus t_m \quad (۳)$$

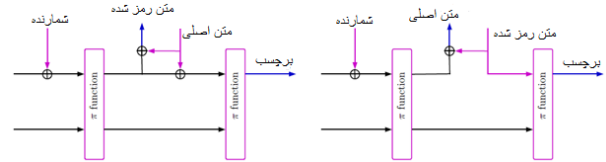
خروجی این الگوریتم، شامل متن رمز شده و برجسب، مطابق زیر خواهد بود.

$$C = C_0 \| C_1 \| \dots \| C_m \| T \quad (۴)$$

شکل ۳ ساختار مربوط به یک دور از تابع جایگشت  $\pi$  را نشان می‌دهد که شامل هشت عملگر \* می‌باشد. جزئیات داخلی این عملگر نیز در شکل ۴ به تصویر درآمده است. همانطور که مشخص است، عملگر \* ساختاری بصورت ARX دارد که با عملگرهای جمع به پیمانه‌ی  $2^w$ ، چرخش به سمت چپ و عملگر یای انحصاری (XOR) پیاده‌سازی شده است.

#### ۳ تحلیل تفاضلی ساختار ARX

در ساختارهای ARX تنها عملگر غیرخطی، عملگر جمع پیمانه‌ای است. رفتار تفاضلی این عملگر مورد بررسی فراوان قرار گرفته است و الگوریتم‌های کارایی جهت محاسبه‌ی احتمال تفاضلی این عملگر که در زمان چندجمله‌ای قابل اجرا هستند، ارائه شده‌اند [۵، ۶].



شکل ۲. سه‌گانه. مؤلفه‌ی سمت راست مربوط به رمزگشایی و مؤلفه‌ی سمت چپ مربوط به رمزگذاری [۲]

دارای طولی برابر با  $4w$  هستند و در اینجا منظور از قسمت نرخ حالت، همان کلمات فرد و منظور از قسمت ظرفیت حالت، کلمات زوج آن می‌باشد.

#### ۲.۲ مرحله پردازش داده-پیوست

همواره بخش‌هایی از پیام وجود دارند که نیازمند احراز اصالت هستند ولی به رمزگذاری نیازی ندارند (مانند سرآیندهای بسته‌های مخابراتی). چنین بخش‌هایی از پیام باید از پیام اصلی متمایز شوند که به آن‌ها داده-پیوست گفته می‌شود. حالت‌های داخلی مشترک تولید شده بصورت موازی و با کمک قالب‌های داده-پیوست و شمارنده به عنوان ورودی‌های  $e$ -سه‌گانه<sup>۱</sup>، برجسب‌های جزئی داده-پیوست را تولید می‌کنند. این واحد که خود متشکل از دو جایگشت پیاپی  $\pi$  می‌باشد، در شکل ۲ نشان داده شده است. قاعده‌ی لایه‌ی گذاری بصورت زیر می‌باشد

$$Pad(AD) = AD_1 \| AD_2 \| \dots \| AD_a \| 10^* \quad (۲)$$

1 بیانگر بایت 0x01 و 1 بیانگر بایت 0x00 است. اگر طول داده-پیوست مضربی از طول قسمت نرخ باشد، آنگاه یک قالب به تعداد قالب‌هایی که پردازش می‌شوند اضافه خواهد شد.

در نسخه‌ی اول الگوریتم  $\pi$ -Cipher، با فرض نبود داده-پیوست، قالب مربوط به آن نیز خالی می‌ماند، اما در نسخه‌ی دوم این الگوریتم حتی در صورت نبود داده-پیوست نیز، توسط این قاعده‌ی لایه‌ی گذاری حداقل یک قالب برای پردازش و به تبع آن حداقل یک برجسب جزئی برای این مرحله موجود خواهد بود.

#### ۳.۲ مرحله پردازش عدد مخفی پیام

عدد مخفی پیام نیز به همراه عدد عمومی پیام، بخش دیگری از تک شمار این الگوریتم را تشکیل می‌دهد که برای الگوریتم با کلمات ۱۶ بیتی طولی برابر ۱۲۸ بیت، برای الگوریتم با کلمات ۳۲ بیتی طولی برابر ۲۵۶ بیت و برای الگوریتم با کلمات ۶۴ بیتی طولی معادل با ۵۱۲ بیت خواهد داشت. این مرحله از رمزنگاری (در صورت خالی نبودن رشته بیت مربوط به عدد مخفی پیام) با فراخوانی  $e$ -سه‌گانه شروع می‌شود؛ به طوری که ورودی آن سه تایی  $(c_0, t_0, SMN)$  و خروجی آن زوج  $(c_0, ctr + a + 1, SMN)$  خواهد بود.  $SMN$  عدد مخفی پیام و بخش محرمانه تک‌شمار است.

<sup>1</sup>e-triplex

$$xdp^+(\alpha, \beta, \lambda \rightarrow \alpha \oplus \beta \oplus \lambda)$$

مهم است، تفاضل های ورودی و خروجی هستند صرف نظر از اینکه تفاضلات میانی چه مقادیری را اتخاذ می کنند. به این ترتیب مقدار دقیق این احتمال به صورت زیر قابل محاسبه است:

$$xdp^+(\alpha, \beta, \lambda \rightarrow \alpha \oplus \beta \oplus \lambda) = \sum_{v \in \{0,1\}^{16}} \left( xdp^+(\alpha, \beta \rightarrow v) \cdot xdp^+(v, \lambda \rightarrow \alpha \oplus \beta \oplus \lambda) \right) \quad (7)$$

بدیهی است که مقدار محاسبه شده از رابطه (7) بایستی بزرگتر یا مساوی با مقدار محاسبه شده از رابطه (6) باشد. برای مثال برای تفاضلهای زیر

$$\alpha = 0x0018, \quad \beta = 0x0010, \quad \lambda = 0x0000$$

مقدار  $xdp^+(\alpha, \beta, \lambda \rightarrow \alpha \oplus \beta \oplus \lambda)$  با روش های اول و دوم به ترتیب برابر با  $2^{-3}$  و  $2^{-254}$  بدست می آید.

در جستجوی مشخصه های تفاضلی در بخش بعد از این روش محاسبه احتمال تفاضل برای عملگرهای جمع پیمانه ای 3 ورودی استفاده می کنیم.

#### 4 تمایزگر تفاضلی دو دوری برای $\pi$ 16-Cipher

با توجه به نحوه استفاده از جایگشت  $\pi$  در ساختار  $\pi$ -Cipher، قسمت ظرفیت در حالت داخلی مشترک  $CIS''$  بدون تغییر خواهد ماند و لذا تفاضل صفر خواهد داشت و با توجه به اینکه شمارنده ی 64 بیتی بر روی قسمت نرخ حالت تأثیر می گذارد، ما نیز تنها به دنبال جستجوی مشخصه های تفاضلی ای هستیم که فقط در بخش نرخ خود مقدار ناصفر داشته و تفاضل بخش ظرفیت را صفر قرار می دهیم. از سوی دیگر با توجه به قضیه 1، هر چه تفاضل ورودی وزن کوچکتری داشته باشد، بطور بالقوه احتمال بیشتری خواهد داشت. لذا ما نیز در جستجو برای مشخصه تفاضلی، وزن همینگ را حتی الامکان کوچک قرار می دهیم.

نخست برای یک دور از جایگشت  $\pi$  تعدادی از تفاضلات یک دوری مدنظر را با قیود فوق، بررسی می کنیم. این تفاضلات در جدول 2 آورده شده اند. در این جدول منظور از  $I_{1,m}(i)$  بیت  $i$ ام از کلمه 16 بیتی  $m$ ام از قطعه  $I_1$  می باشد. همانطور که از احتمالات تفاضلی اشاره شده در جدول 2 مشخص است، ورودی با وزن همینگ سه نسبت به وزن یک، دو و چهار بیتی منجر به احتمالات تفاضلی مطلوب تری می شود زیرا در بیت های  $e$  و  $f$  (نشان داده شده در شکل 4) امکان خنثی شدن بیت های بیشتری از تفاضلهای حاصل تفاضل صفر در ادامه می باشد که این امر به نفع احتمال مشخصه تفاضلی است.

از بین تفاضلهای ورودی داده شده در جدول 2، آنهایی که در دور اول رفتار نسبتاً بهتری داشته اند را برای یک دور بیشتر ادامه داده و از میان

#### 1.3 خاصیت تفاضلی جمع پیمانه ای با دو ورودی

یک جمع پیمانه ای با کلمات  $n$  بیتی با دو ورودی را در نظر بگیرید. اگر  $\alpha$  و  $\beta$  تفاضل های ورودی و  $\gamma$  تفاضل خروجی این عملگر باشد، احتمال چنین تفاضلی را با  $xdp^+(\alpha, \beta \rightarrow \gamma)$  نشان می دهیم. در [5] الگوریتم بسیار کارایی برای شناسایی تفاضلهای ناممکن (با احتمال صفر) و نیز محاسبه احتمال تفاضلهای ممکن، ارائه شده است که بصورت قضیه زیر است:

قضیه 1 ([5]). احتمال تفاضلی جمع پیمانه ای  $xdp^+(\alpha, \beta \rightarrow \gamma)$ :

- برابر صفر است، اگر و فقط اگر

$$eq(\alpha \ll 1, \beta \ll 1, \gamma \ll 1) \wedge (xor(\alpha, \beta, \gamma) \oplus (\alpha \ll 1)) \neq 0$$

- در غیر این صورت برابر است با:  $2^{-w_h^*(xor(\alpha, \beta, \gamma))}$ .

که در روابط فوق  $w_h^*(x)$  برابر با وزن همینگ کلمه  $x$  به استثنای  $MSB$  آن است.

تابع  $eq$  به این صورت می باشد که در صورتی که بیت های  $\alpha_i$ ،  $\beta_i$  و  $\gamma_i$  به طور همزمان برابر با صفر و یا یک باشند، آنگاه مقدار بیت متناظر  $eq(\alpha_i, \beta_i, \gamma_i)$  برابر با یک و در غیر اینصورت برابر با صفر خواهد بود. تابع  $eq(\alpha_i, \beta_i, \gamma_i)$  نیز نقیض آن می باشد.

یک رویکرد متداول در تحلیل ساختارهای شامل عملگر جمع پیمانه ای، تقریب آن با عملگر خطی XOR است. به این ترتیب برای تفاضلهای ورودی  $(\alpha, \beta)$  تفاضل خروجی  $\gamma = \alpha \oplus \beta$  خواهد بود. این تفاضل همواره شدنی است و احتمال آن با استفاده از قضیه 1 برابر است با:

$$xdp^+(\alpha, \beta \rightarrow \alpha \oplus \beta) = 2^{-w_h^*(\alpha \wedge \beta)} \quad (5)$$

#### 2.3 خاصیت تفاضلی جمع پیمانه ای با سه ورودی

برای جمع پیمانه ای با کلمات  $n$  بیتی با سه ورودی، و تفاضلات ورودی  $\alpha$ ،  $\beta$  و  $\lambda$  و تفاضل خروجی  $\gamma$ ، احتمال تفاضلی را با

$$xdp^+(\alpha, \beta, \lambda \rightarrow \gamma)$$

نشان می دهیم. در این قسمت به بررسی رفتار تفاضلی جمع پیمانه ای با سه ورودی در حالت خاص  $\gamma = \alpha \oplus \beta \oplus \lambda$  می پردازیم.

یک روش برای تخمین  $xdp^+(\alpha, \beta, \lambda \rightarrow \alpha \oplus \beta \oplus \lambda)$  معادل کردن جمع پیمانه ای سه ورودی با دو جمع پیمانه ای دو ورودی متوالی، و استفاده از حاصلضرب احتمالات تفاضلی دو ورودی با فرض استقلال دو پیشامد است. به عبارت دیگر

$$xdp^+(\alpha, \beta \rightarrow \alpha \oplus \beta \oplus \lambda) = xdp^+(\alpha, \beta \rightarrow \alpha \oplus \beta) \cdot xdp^+(\alpha \oplus \beta, \lambda \rightarrow \alpha \oplus \beta \oplus \lambda) \quad (6)$$

رابطه فوق در واقع احتمال یک مسیر تفاضلی مشخص را محاسبه می کند و آن مسیری است که خروجی جمع پیمانه اول در آن لزوما دارای تفاضل با مقدار  $\alpha \oplus \beta$  باشد. اما آنچه در محاسبه

جدول ۳. مقایسه تحلیل‌های انجام شده بر روی  $\pi$ -Cipher

نسخه	نوع الگوریتم	نوع تحلیل	تعداد دورها	پیچیدگی زمانی
	$\pi$ 16-cipher96			
	$\pi$ 16-cipher128			
	$\pi$ 32-cipher128	کشف حالت [۳]	۱	۱
	$\pi$ 32-cipher256			
	$\pi$ 64-cipher128			
	$\pi$ 64-cipher256			
$v_1$	$\pi$ 16-cipher96			
	$\pi$ 16-cipher128	کشف حالت [۳]	۲	۲۶۶ یا ۲۱۳۰
	$\pi$ 32-cipher256			
	$\pi$ 32-cipher256	کشف کلید [۴]	۲،۵	۲۱۴۷
	$\pi$ 16-cipher96			
	$\pi$ 16-cipher128	کشف حالت [۳]	۳	۲۶۴ یا ۲۱۲۸
	$\pi$ 32-cipher256			
	$\pi$ 16-cipher96	کشف حالت [۳]	۱	۲۶۸
	$\pi$ 16-cipher96	کشف کلید [۴]	۲،۵	۲۷۲
$v_2$	$\pi$ 16-cipher128	کشف کلید [۴]	۲،۵	۲۷۲
	$\pi$ 16-cipher96	تمایزگر	۲	۲۹۵

حال برای تامین چنین تفاضلی در ورودی جایگشت  $\pi$ ، چه باید کرد؟ فرض کنید  $r$  معادل عددی چنین تفاضلی باشد. در مثال ما برای یک بیت تفاضل روی بیت دوازدهم هرکدام از کلمات ۱۶ بیتی دوم، سوم و چهارم قطعه‌ی اول ورودی، خواهیم داشت  $2^{36} + 2^{20} + 2^4 = r$ . برای تامین تفاضلی با مقدار عددی  $r$  با توجه امکان تقریب رفتار جمع پیمانه‌ای با XOR می‌توان از قالب‌های با فواصل  $r$  استفاده کرد. تفاضل ورودی بخش نرخ در دو قالب با فاصله  $r$  برابر خواهد بود با  $(ctr+i+r) \oplus (ctr+i)$  است، که به شرط تقریب جمع پیمانه‌ای با XOR این تفاضل برابر با  $r$  خواهد بود. احتمال این پیشامد به وزن همینگ  $r$  وابسته است و برای تفاضل مورد بررسی ما برابر با  $2^{-2}$  خواهد بود. بنابراین احتمال تمایزگر تفاضلی برابر با  $2^{-95} = 2^{-3} \cdot 2^{-92}$  خواهد بود.

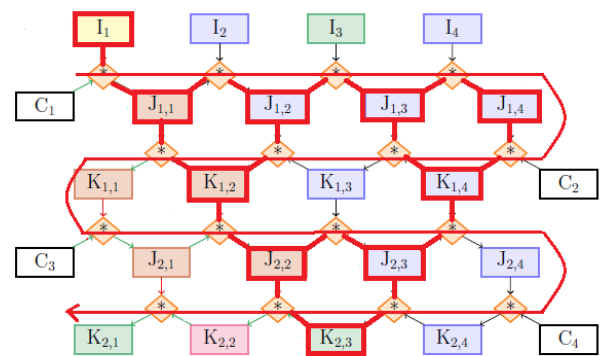
خلاصه‌ای از حملات انجام شده روی الگوریتم  $\pi$ -Cipher به همراه حمله معرفی شده در این مقاله در جدول ۳ آورده شده است.

## ۵ جمع‌بندی

در این مقاله به رفتار تفاضلی جایگشت  $\pi$  که طرحی با ساختار ARX در الگوریتم  $\pi$ -Cipher است پرداختیم. ابتدا رفتار تفاضلی عملگر جمع پیمانه‌ای مورد بررسی قرار گرفت و با در نظر گرفتن احتمال انتشار بیت‌های تفاضل، این عملگر به عملگر یای انحصاری تقریب زده شد. پس از آن عملگر جمع پیمانه‌ای با دو ورودی تفاضلی به عملگر جمع با سه

جدول ۲. احتمال انتشار تفاضل ورودی‌های مختلف برای یک دور

لگاریتم احتمال	بیت‌های فعال ورودی
-۲۱۰	$I_{1,4}(16)$
-۱۳۰	$I_{1,4}(16); I_{1,1}(16)$
-۱۴۵	$I_{1,2}(16); I_{1,1}(16)$
-۷۶	$I_{1,1}(2); I_{1,2}(2); I_{1,4}(2)$
-۸۳	$I_{1,2}(16); I_{1,3}(16); I_{1,4}(16)$
-۷۷	$I_{1,1}(16); I_{1,2}(16); I_{1,3}(16)$
-۶۵	$I_{1,1}(8); I_{1,2}(8); I_{1,3}(8)$
-۵۷	$I_{1,1}(1); I_{1,2}(1); I_{1,3}(1)$
-۵۲	$I_{1,1}(2); I_{1,2}(2); I_{1,3}(2)$
-۵۹	$I_{1,2}(12); I_{1,3}(12); I_{1,4}(12)$



شکل ۵. مشخصه تفاضلی دو دوری

آنها بهترین مشخصه تفاضلی دو دوری را بدست آورده‌ایم. این مشخصه دارای تفاضل ورودی

$$I_{1,2}(12) = I_{1,3}(12) = I_{1,4}(12) = 1$$

می‌باشد. این ورودی پس از یک دور با احتمال  $2^{-59}$  به خروجی زیر انتشار پیدا می‌کند.

$$K_{1,1} = 0x0000000000000000$$

$$K_{1,2} = 0x0000800080008000$$

$$K_{1,3} = 0x0000000000000000$$

$$K_{1,4} = 0x0000002000200020$$

در شکل ۵ نحوه‌ی انتشار این ورودی تفاضلی به ازاء دو دور از الگوریتم به تصویر کشیده شده است. بیت‌های فعال با توجه به آفست‌های چرخش در ساختار ARX طوری تنظیم شده‌اند که در موقعیت‌های مشابه قرار می‌گیرند و در عملگرهای ششم، هشتم، دوازدهم و پانزدهم همدیگر را خنثی می‌کنند به نحوی که باعث افزایش احتمال تفاضلی نسبت به ورودی‌های تفاضلی دیگر می‌شود.

ورودی تفاضلی تعمیم داده شد. در نهایت، یک تمایزگر تفاضلی بر روی الگوریتم  $\pi$ -Cipher دو دوری و با کلمات ۱۶ بیتی معرفی شد. در تمایزگر مذکور تفاضل روی بیت‌های ورودی جایگشت  $\pi$  منحصرأ از قسمت نرخ حالت انتخاب شده‌اند که با توجه به تزریق شمارنده در این قسمت، امکان تنظیم تفاضلهای دلخواه برای تحلیلگر وجود دارد. به عنوان کارهای آتی می‌توان روی جستجوی جامع‌تر برای یافتن مشخصه‌های تفاضلی محتمل‌تر و یا بهره‌گیری از این مشخصه برای یک حمله جعل یا بازیابی حالت/کلید استفاده کرد.

## مراجع

- [1] Caesar: Competition for authenticated encryption: Security, applicability, and robustness. <http://competitions.cr.yep.to/>.
- [2] Danilo Gligoroski, Hristina Mihajloska, Simona Samardjiska, Hakon Jacobsen, Mohamed El-Hadedy, Rune Erlend Jensen, and Daniel Otte.  $\pi$ -cipher v2. 0, submission to the caesar competition, 2015.
- [3] Joseph Alley and Josef Pieprzyk. State recovery attacks against  $\pi$ -cipher. In *Proceedings of the Australasian Computer Science Week Multiconference*, pages 1–6, 2016.
- [4] Christina Boura, Avik Chakraborti, Gaëtan Leurent, Goutam Paul, Dhiman Saha, Hadi Soleimany, and Valentin Suder. Key recovery attack against 2.5-round  $\pi$ -cipher. In *International Conference on Fast Software Encryption*, pages 535–553. Springer, 2016.
- [5] Helger Lipmaa and Shiho Moriai. Efficient algorithms for computing differential properties of addition. In *International Workshop on Fast Software Encryption*, pages 336–350. Springer, 2001.
- [6] J. Wallén. *On the differential and linear properties of addition*. PhD thesis, Helsinki University of Technology, Laboratory for Theoretical Computer Science, 2003. Master's thesis.

